

Y-Cel

$\alpha \beta_5$      $\frac{A = Y, La, Ce, Pr, Nd, Eu, Dy}{B = Co, Ni, Cr}$  /spacem. exp.-pa/

Werkhick J.H., Weller S.,  
Acta crystallogr.,

1959, 12, 119, 662 - 665.

PX, 1960, 16668 mi

BP-1111-VII; VIII 1385 1961

YC<sub>u</sub>, YC<sub>u2</sub>, YC<sub>u4</sub>, YFe<sub>3</sub>, YFe<sub>4</sub>, YFe<sub>9</sub>  
(T<sub>m</sub>)

Domagala R. F., Rausch J. J.,  
Levinson D. W.

Trans. Amer. Soc. Metals, Metals  
Park, Ohio; 1961, 53, B7-155, Discuss. 899.

P. Miller, 1962, 3449

5, A1 903

VIII 4008  
YC<sub>u</sub>, YAg, YZn, YCd, YHg, YCd<sub>2</sub>, YHg<sub>3</sub> 1962  
(a, b, c)

Bruzzzone G., Ferro R.A.,  
Atti Accad. Naz. Lincei. Rend.  
Cl. sci. fis., mat. e natur.,  
1962 (1963), 33, n. 5, 312-314

PX, 1964, 76336

Mil 237 b 4. H.

Соединение в смесиах — 1963  
P3-7-T. VIII 4/31  
IT = Mg, Zn, Al, Fe, Cu)  
1 кг. суп-ра)

Тіагомінській Е. І., Крив'якевич  
ІІ. І., Чоркашині С. С., Заречнок  
О. С., Заслузкий І. І., Євдокименкови  
В. С., Рєзко-Земцова Н. Іванівна;  
М., АН СССР, 1963, б7-70

PX.1966.75263

Mo ecte φ-к

1963

 $Y_{2}O_3$ 

(Kroemer et al - 1963)

Rejinald P. K., Ryba E.

Acta crystallogr., 1963, 16  
N<sup>o</sup>, 853

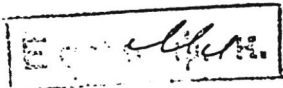
"The crystal structure  
of  $Y_{2}O_3$ .

PX, 1964, 156235

Act

Thru<sup>2</sup> / JA - pegkozgucu. 1963  
(specie. cusp-pa) VIII 4365

Storm A. R., Benson K. E.,  
Acta crystallogr.,  
1963, 16, n<sup>o</sup>7, 701-703



PX, 1964, 16 B 234

ellx (l=PK, species C<sub>2</sub> & P<sub>2</sub>, 1965  
X = Cu, Mg, Zn, Cd, Hg & Fe)  
(species: esp-pa) VIII4235

Tandelli A.; Palenzona A.,

y. Less - Common elltals,

1965, ♀, ml, 1.-6

Foto d. R.

ellx

PK, 1966, 85348

Ме  $Mn_2$ , Ме  $Mn_{4-5}$ , Ме  $Mn_{12}$  1965  
(Ме = РЗР), VIII 4277  
 $\gamma Fe_2$ ,  $\gamma Co_2$ ,  $\gamma Ni_2$ ,  $\gamma Cu$ ,  $\gamma Au$ ,  $\gamma Co_5$   
(кристал. струк-ра, Тн)

Киичмадж Г. А.,

Л. Metalltukole,

1965, 56, N 11, 467 - 770

ЕСТЬ Ф. К.

Р. М., 1966, 42118. 5, № 1, М.

$Y_{Cr}$ ,  $Eu_{Cr}$ ,  $Y_{Ag}$ ,  $Yb_{Ag}$ ,  $Yb_{Al_2}$ ,  $Y_{Al_2}$ , La,  $\text{La}_{Y_3}$ , 1966  
 $Pt_{Tn}$ ,  $Tu_{Tn}$ ,  $Yb_{Tn}$ ,  $Tu_{Tl_2} Tl_1$ ,  $Pt_2 Yb_{Tl_2}$ ,  
 $Tb_{Fe_2}$ ,  $Yb_{Fe_2}$ ,  $Y_{Ag_2}$ ,  $Y_{Al_3}$ ,  $Tb_{Yn_3}$ ,  $Tu_{Yn_3}$ ,  
 $Yb_{Yn_3}$ ,  $Eu_{Tl_3}$ ,  $Tb_{Tl_3}$ ,  $Tu_{Tl_3}$ ,  $La^{pt}$ ,  $Po^{pt}$ ,  
 $Nd^{pt_3}$ ,  $Sm^{pt_3}$ ,  $Tb^{pt_3}$ ,  $Tu^{pt_3}$ ,  $Yb^{pt_3}$ ,  $La^{Y_3}$ ,  
 ~~$Ce^{pt_3}$ ,  $Ce_{Y_3}$ ,  $Pt_{Y_3}$ ,  $Nd_{Y_3}$ ,  $Yb_{Al_3}$ .~~

(кручин. europ-70)

Moriarty J. L., Humphreys J. E.,  
Gordon R. O., Baenziger H.,  
Acta crystallogr., 1966, 21, n<sup>5</sup>, 840

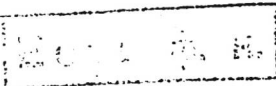
PM, 1967, 3222 3 ill.

Y<sub>T<sub>4</sub></sub>Al<sub>8</sub> (T=Cr, Mn, Fe, Cu) VIII 4129  
1966  
(крист. куб-Ро)

Заречников О. С.,

Донбаси ІІІ УППР,

1966, № 6, 464.-769



РМ, 1966, 122133

$\text{fB}_2$  / H-Sc, Y, P3M; B-Cu, Ag, Au / 1967  
(epicritic. cup-pa)

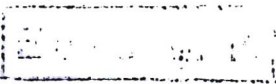
VIII 4440

Dwight A. E., Donnay J. W.

Conner R. A., Jr.,

Acta crystallogr.,

1967, 22, n<sup>o</sup> 5, 745.



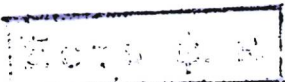
PM, 1967, 102131 elle

RX<sub>2</sub> / R = P<sub>3</sub> M; R = Lg, Ag, Au, Fe, Cd, Zn,  
1968  
Zn, Fe, Cd) (spurc. esp-pa) VIII 4231

Pandiki R, Paleozoic Q.,

Y. Less - Common Metals,

1963, 15, 03, 273.



P.M., 1963, 122154

1968

YC<sub>u</sub>  
YAg

Gp

110626r Specific heats of the compounds YCu and YAg between 1-3 and 5°K. Pierre, Jacques (Lab. Electrostatique Phys. Metal, C.N.R.S., Grenoble, Fr.). C. R. Acad. Sci., Paris, Ser. A,B 1968, 267B(4), 287-9 (Fr). The variation of sp. heat with temp. was found for the compds. YCu and YAg, and for the solid solns. in which Cu was partly replaced by Zn or Ni. The d. of states at the Fermi level was calcd. from this variation, and found to be 3 times that predicted by the free electron model. The Debye temps. of Y in YAg and YCu agreed. An attempt was made to correlate the results with those obtained from a study of the resistivities of TCu and TAg, and those from a study of the magnetic properties of solid solns. of the type  $TCu_{1-x}Zn_x$ .

Pamela W. Mynott

B9 - 648 -

C.A. 1968-69-26

Al<sub>x</sub>Cu<sub>y</sub>Y<sub>z</sub>

8 VIII 1971

1971

Джус. СФ-фа

Джус пл. 2, Казахс. Р.С., Нурен.

Джес Уса „Изб. Академ. Материал.

1971, № 181-185

Исследование газовых плавильных  
сплавов Al-Cu-Y.



ЗАТ № 1

9 II, 1971, 5 II 21

V Cu Matthias B.T. 1976

J. Less Common Met.

(Tr) 1976, 46(2) 339-41 (Eng)

(all Sc Ag; I)

*CuO · Y<sub>2</sub>O<sub>3</sub>; CuO · In<sub>2</sub>O<sub>3</sub>*

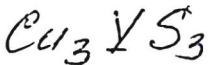
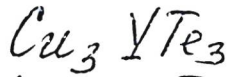
1976

P 84: 170356r An electrochemical study of high-temperature stability of compounds between the rare earths and copper oxide. Tret'yakov, Yu. D.; Kaul, A. R.; Makukhin, N. V. (Moscow State Univ., Moscow, USSR). *J. Solid State Chem.* 1976, 17(1-2), 183-9 (Eng). Equil. conditions for formation of the compds. CuLn<sub>2</sub>O<sub>4</sub> (Ln = La, Nd, Sm, Eu, Gd) and Cu<sub>2</sub>R<sub>2</sub>O<sub>7</sub> (R = Tb, Dy, Er, Yb, Y, In) were studied in galvanic cells with solid electrolyte ZrO<sub>2</sub> (Y<sub>2</sub>O<sub>3</sub>) in the temp. range 950-1150°. The results, together with results of a study of the equil. CuO-Cu<sub>2</sub>O, were used to calc. the  $\Delta G^\circ$  of formation of the double oxide from CuO and the Ln<sub>2</sub>O<sub>3</sub> (In<sub>2</sub>O<sub>3</sub>, Y<sub>2</sub>O<sub>3</sub>) as listed above. A decrease in stability occurs for the compds. CuLn<sub>2</sub>O<sub>4</sub> relative to the initial oxides in the sequence La-Gd and an increase in the stability of Cu<sub>2</sub>Ln<sub>2</sub>O<sub>7</sub> in the sequence Tb-Yb. The results are discussed on the basis of special features of the cryst. structure of the compds. examined.

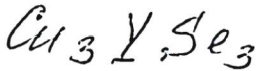
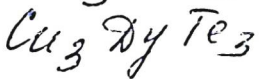
(sbf)

\* 4 - 12631

C.A. 1976. 84. N24



1976



87: 77667b Synthesis and study of  $A_3^{\text{I}}LX_3^{\text{VI}}$  type semiconductor compounds. Zul'fugarly, D. I.; Gamidov, R. S.; Agaev, A. B. (Azerb. Gos. Univ. im. Kirova, Baku, USSR). *Azerb. Khim. Zh.* 1976, (5), 113-16 (Russ).  $Cu_3 YS_3$ ,  $Cu_3 YSe_3$ ,  $Cu_3 YTe_3$ , and  $Cu_3 DyTe_3$  were obtained as individual compds. from high-purity Cu, Y, Dy, and chalcogens heated gradually in vacuum to  $1240^{\circ}$  and mixed 1 h. The compds. are isostructural, crystallizing as hexagonal syngonies, and they do not decomp. in vacuum at temps. below their m.ps.

(T<sub>m</sub>)

C. O. 1977. 87  
N 10

Li-Y

Chubab

[OM · 19815] (25181) 1984

Watanabe S., Kleppa O.J.,

Mol. Trans., 1984, B15,

neptunium. N2, 357-368.

Cu-X  
creations 1985  
Sudarstsova V. S.,  
Batalin G. I., et al.

res. eecog. Izv. Vyssh. Uchebn.  
cb-ba, Zaved., Tsvetn. Metal.  
Sf M; 1985, (6), 98-101.

(Cer. Cu-Screnab); ?

$\text{Cu}_1\text{Y}$

1985

$\text{Cu}_2\text{Y}$

Watanabe S., Kleppa O.Y.

$\text{Cu}_1\text{Y}$

Met. Trans., 1985, B15,

$\Delta H_f$ ; NI-Y, 357-368.

(crys. Sc; T)

Y<sub>2</sub>Cu<sub>2</sub>O<sub>5</sub>

1988

17 Б3123. Индуцированные полем переходы в Y<sub>2</sub>Cu<sub>2</sub>O<sub>5</sub>. Field-induced transitions in Y<sub>2</sub>Cu<sub>2</sub>O<sub>5</sub> / Cheong S.-W., Thompson J. D., Fisk Z., Kubat-Martin K. A., Garcia E. // Phys. Rev. B.— 1988.— 38, № 10.— С. 7013—7015.— Англ.; Место хранения ГПНТБ СССР

(II/II<sub>2</sub>)

В диапазоне т-р 2—350 К и в магн. полях ( $H$ ) до 7Т исследована магн. восприимчивость ( $\chi_{\perp}$  и  $\chi_{\parallel}$ ) и изотермич. намагниченность ( $M$ ) монокристаллов Y<sub>2</sub>Cu<sub>2</sub>O<sub>5</sub> (ромбич. структура, пр. гр.  $Pna2_1$ ,  $a$  10,782,  $b$  3,4870,  $c$  12,446А). При  $T_N = 13$  К в поле 0,5 Т наблюдается антиферромагн. упорядочение. Парамагн. т-ра Кюри, определенная из зависимости  $\chi_{\parallel}(T)$ , равна 37К с эффективным магн. моментом  $2,16 \mu_B$  на Cu, а из зависимости  $\chi_{\perp}(T)$  эти величины 38К и  $1,98\mu_B$ . Ниже  $T_N$ ,  $\chi_{\perp}(T)$  даже в поле 5Т следует теории средн. поля, а  $\chi_{\parallel}(T)$  сильно отклоняется от этого предсказания. В зависимости  $M(H)$  ниже  $T_N$  ясно обнаруживается

Х. 1989, № 17

два индуцируемых полем перехода. При  $2\text{K}$  и  $H=3\text{T}$  магн. момент резко увеличивается на  $0,3 \mu_B$ , при  $H=5\text{T}$  следует еще один переход. Фаза между  $3$  и  $5\text{T}$  слабо ферромагн., а фаза между  $5$  и  $7\text{T}$  имеет перевернутый спин.

Б. А. Ступников

с с с  
зап

$Y_2Cu_2O_5$

1988

109: 177748v Thermodynamic stability of yttrium copper oxide ( $Y_2Cu_2O_5$ ) by emf. method. Pankajavalli, R.; Sreedharan, O. M. (Mater. Dev. Lab., Indira Gandhi Cent. At. Res., Kalpakkam, 603 102 India). *J. Mater. Sci. Lett.* 1988, 7(7), 714-16. (Eng). Thermodynamic values of solid-state reactions leading to the formation of  $Y_2Cu_2O_5(s)$  were detd. by DTA and emf. measurements in order to evaluate the compd. stability.

REPRODUCED  
FOR PERSONAL USE

C.A. 1988, 109, N20

Y<sub>2</sub>O<sub>3</sub>-CuO

(Om. 31228) 1988

11 Б3029. Термодинамическое описание бинарной системы CuO—Y<sub>2</sub>O<sub>3</sub>. Thermodynamic treatment of the CuO—Y<sub>2</sub>O<sub>3</sub> binary system / Rao G. H., Liang J. K., Qiao Z. Y. // J. Less—Common Metals.— 1988.— 144, № 2.— С. 215—220.— Англ.

Диаграмма состояния системы Y<sub>2</sub>O<sub>3</sub>—CuO построена с использованием модели регулярных р-ров и лит. данных по термодинамич. св-вам оксидов. Получено выражение  $\Delta_f G(Y_2Cu_2O_5) = -59210,4 + 29,169 T$  Дж/моль. Соединение Y<sub>2</sub>Cu<sub>2</sub>O<sub>5</sub> стабильно ниже 1350° С. Построена диаграмма состояния в субсолидусной области.

Л. А. Резницкий

X. 1989, N 11

Х. 1988

1988

22 Б3118. Термодинамические свойства купритов иттрия и бария. Сколис Ю. Я., Киценко С. В., Ковба М. Л., Пашин С. Ф. «12 Всес. конф. по хим. термодинам. и калориметрии. Тез. стенд. докл., Горький, 13—15 сент., 1988. Ч. 1». Горький, 1988, 18

В интервале т-р 1000—1300 К при  $p_{O_2} = 1$  атм измерены э. д. с. ячеек с тв. F<sup>-</sup>-ионным электролитом Pt,O<sub>2</sub>/Y<sub>2</sub>O<sub>3</sub>, YOF/CaF<sub>2</sub>/Y<sub>2</sub>Cu<sub>2</sub>O<sub>5</sub> (I), CaO, YOF/Pt, O<sub>2</sub> и Pt, O<sub>2</sub>/BaCuO<sub>2</sub> (II), CuO,BaF<sub>2</sub>/BaF<sub>2</sub>/CaO, CaF<sub>2</sub>/Pt, O<sub>2</sub>. Для образования I и II из простых оксидов получено  $\Delta G^{\circ}$  ( $\pm 0,5$  кДж/моль) =  $12,8 - 18,4 \cdot 10^{-3} T$  и  $\Delta G^{\circ}$  ( $\pm 11,7$  кДж/моль) =  $-53,8 + 17,9 \cdot 10^{-3} T$ . А. С. Гузей

ЛНГ;



Х. 1988, № 22

Cu YO<sub>2</sub>  
Cu<sub>2</sub> Y<sub>2</sub>O<sub>5</sub>

1989

(168)

111: 141781c Gibbs energies of formation of cuprous and cupric yttrates (CuYO<sub>2</sub> and Cu<sub>2</sub>Y<sub>2</sub>O<sub>5</sub>) and phase relations in the system copper-yttrium-oxygen. Kale, G. M.; Jacob, K. T. (Dep. Metall., Indian Inst. Sci., Bangalore, 560 012 India). *Chem. Mater.* 1989, 1(5), 515-19 (Eng). A solid-state galvanic cell was used to study the thermodn. properties of CuYO<sub>2</sub> and Cu<sub>2</sub>Y<sub>2</sub>O<sub>5</sub> at 873-1323 K. The compd. CuYO<sub>2</sub> was prep'd. by redn. of Cu<sub>2</sub>Y<sub>2</sub>O<sub>5</sub> at 1373 K under Ar gas with a residual oxygen partial pressure of ~1 Pa. The ternary system CuYO<sub>2</sub>-Cu<sub>2</sub>Y<sub>2</sub>O<sub>5</sub>-Y<sub>2</sub>O<sub>3</sub> was also studied. The solid solv. of Y<sub>2</sub>O<sub>3</sub> in either oxide is negligible. On the basis of auxiliary thermodn. data from the literature, the phase relations in the Cu-Y-O system at 723, 950 and 1373 K were deduced.

C.A. 1989, 111, N16

Y<sub>2</sub>CuO<sub>5</sub>

Он Зд 715

1989

7 Б2519. Низкотемпературная теплоемкость соединений  $R_2Cu_2O_5$  ( $R=Y, Tb, Dy, Ho, Er, Tm, Yb, Lu$ ) / Мощалков В. В., Самарин Н. А., Зубкова Я., Милль Б. В. // Сверхпроводимость: Физ., химия, техн. — 1989. — 2, № 11. — С. 18—23. — Рус.

При т-рах 2,0—30 К измерена теплоемкость купратов РЗЭ  $R_2Cu_2O_5$  ( $R=Y, Tb, Dy, Ho, Er, Tm, Yb, Lu$ ). Обнаружены аномалии теплоемкости, соотв. фазовым переходам 2-го рода при антиферромагн. упорядочении ионов  $Cu^{2+}$ . Т-ра Нееля  $T_N$  для различных R лежит в пределах от 10 К ( $R=Dy$ ) до 25 К ( $R=Er$ ). У соединений  $Yb_2Cu_2O_5$  и  $Dy_2Cu_2O_5$  помимо пиков, отвечающих магн. упорядочению  $Cu^{2+}$ , наблюдали дополнит. резкие пики в теплоемкости при  $T=9,5$  К ( $R=Dy$ ) и 6,8 К

6.1

(7) 8

X.1990, № 7

(R=Yb), по-видимому, связанные со спин-переориентацией переходами. Купраты гольмия, тулия, иттербия, тербия имеют аномалию Шоттки, обусловленную расщеплением крист. полем энергетич. уровней ионов РЗЭ.

Резюме

$\text{YCu}_2$

$\text{Y}_2\text{Cu}_5$

(M 32714)

1989

112: 64183f Thermodynamic properties of yttrium cuprite.  
Mudretsova, S. N.; Vasil'eva, I. A.; Filippova, Zh. V. (Mosk. Gos. Univ., Moscow, USSR). *Zh. Fiz. Khim.* 1989, 63(11), 3103-11 (Russ). Emf. measurements with a solid electrolyte cell were used to det. the free energies of formation of  $\text{YCuO}_2$  and  $\text{Y}_2\text{Cu}_5\text{O}_8$ . The heats and entropy values were derived.

$(\Delta f, \Delta H)$

C.A. 1990, 112, N8

YU

(OM. 31721)

1989

Сигоров О.Ю., Валашев М.Г.

и др.,

$\Delta H_f^\circ$ :

Ж. физ. химии, 1989,  
63, №4, 1123-1124.

Х<sub>2</sub> СиД5

01/31720

1989

16 Б3022. Термодинамические свойства купратов иттрия и иттербия / Сколис Ю. Я., Киценко С. В. // Ж. физ. химии.— 1989.— 63, № 4.— С. 1132—1133.— Рус.

Измерены э. д. с. гальванич. ячеек с тв. F<sup>-</sup>-ионным электролитом вида Pt, O<sub>2</sub>/M<sub>2</sub>O<sub>3</sub>, MOF/CaF<sub>2</sub>/M<sub>2</sub>Cu<sub>2</sub>O<sub>5</sub>, CuO, MOF/Pt, O<sub>2</sub> (1) и Pt, O<sub>2</sub>/M<sub>2</sub>Cu<sub>2</sub>O<sub>5</sub>, M<sub>2</sub>BaCuO<sub>5</sub>, CuO, BaF<sub>2</sub>/BaF<sub>2</sub>/M<sub>2</sub>Cu<sub>2</sub>O<sub>5</sub>, M<sub>2</sub>BaCuO<sub>5</sub>, M<sub>2</sub>O<sub>3</sub>, BaF<sub>2</sub>/Pt, O<sub>2</sub> (2), где M=Y и Yb. Предварительные рентгено-структурные исследования показали равновесное сосуществование электродных фаз. Хотя ячейки (1) и (2) имеют одну и ту же потенциалообразующую р-цию M<sub>2</sub>O<sub>3</sub>+2CuO=M<sub>2</sub>Cu<sub>2</sub>O<sub>5</sub> (3), для к-рой  $\Delta_r G - 2FE_1 = -4FE_2$ , механизм установления в них электрохим. равновесия различен: в ячейке (1) равновесие между фторидными и оксидными фазами устанавливается за счет выравнивания на Э хим. Пт иона M, а в ячейке

(Δf, ΔH)

⊕

Х. 1989, № 16

Х<sub>2</sub> СиД5

(2) — иона бария. Рассчитанные по данным обеих ячеек значения  $\Delta_r G$  удовл. согласуются. Т-рные интервалы измерений: ячейка (1) 1122—1313 и 1050—1234 К; ячейка (2) 1052—1247 и 1072—1233 К для  $M=Y$  и  $Yb$  соотв. Для р-ции (3) рекомендованы  $\Delta_r H^\circ = 12,2 \pm 1,6$  и  $13,8 \pm 2,9$  кДж/моль;  $\Delta_r S^\circ = 17,8 \pm 1,3$  и  $19,0 \pm 2,6$  для  $M=Y$  и  $Yb$ .

А. С. Гузей



$\text{Y}_2\text{Cu}_2\text{O}_5$

(M-31720)

1989

III: 29186m Thermodynamic properties of yttrium and ytterbium cuprates. Skolis, Yu. Ya.; Kitsenko, S. V. (Mosk. Gos. Univ., Moscow, USSR). *Zh. Fiz. Khim.* 1989, 63(4), 1132-3 (Russ). Emf. measurements with a solid electrolyte cell were used to det. the std. thermodn. characteristics of formation of  $\text{Y}_2\text{Cu}_2\text{O}_5$  and  $\text{Yb}_2\text{Cu}_2\text{O}_5$ , from simple oxides.

( $\Delta_f H$ ,  $\Delta_f S$ )

(H)



C.A. 1989, III, NY

Y<sub>2</sub>Cu<sub>2</sub>O<sub>5</sub>

YCuO<sub>2</sub>

3 Чайки

(Δf, ΔHf)

φ. 1991, № 2 (сб)

1989

2G170. Поля устойчивости в YCu—O системе и термохимические характеристики Y<sub>2</sub>Cu<sub>2</sub>O<sub>5</sub> и YCuO<sub>2</sub>. Stability fields in the system YCu—O and thermo-chemical data of Y<sub>2</sub>Cu<sub>2</sub>O<sub>5</sub> and YCuO<sub>2</sub>/Wiesner U., Krabba G., Ritschel M./Mater. Res. Bull.—1989.—24, № 10.—С. 1261—1266.—Англ.; GI, GEQ

С использованием методов РФА, ТГА и кулонометрического титрования изучены изотермич. разрезы YCu—O системы при 700—950°C. Установлено, что в системе имеются трехфазные области, где в равновесии находятся следующие фазы: Y<sub>2</sub>Cu<sub>2</sub>O<sub>5</sub>+YCuO<sub>2</sub>+Y<sub>2</sub>O<sub>3</sub>; Y<sub>2</sub>Cu<sub>2</sub>O<sub>5</sub>+CuO+Cu<sub>2</sub>O; Y<sub>2</sub>Cu<sub>2</sub>O<sub>5</sub>+YCuO<sub>2</sub>+Cu<sub>2</sub>O; YCuO<sub>2</sub>+Y<sub>2</sub>O<sub>3</sub>+Cu и YCuO<sub>2</sub>+Cu<sub>2</sub>O+Cu. Рассчитаны значения основных термодинамич. функций для Y<sub>2</sub>Cu<sub>2</sub>O<sub>5</sub> и YCuO<sub>2</sub>, в том числе свободная энергия Гиббса, энталпия и энтропия образования. Энталпия образования Y<sub>2</sub>Cu<sub>2</sub>O<sub>5</sub> составляет  $\Delta_f H^\circ(298) = -2297$  кДж/моль, что значительно отличается от опубликованных данных ( $-2208$  и  $-2213$  кДж/моль), полученных в предположении наличия равновесия между Y<sub>2</sub>Cu<sub>2</sub>O<sub>5</sub>, Y<sub>2</sub>O<sub>3</sub>, Cu<sub>2</sub>O. Энталпия реакции образования Y<sub>2</sub>Cu<sub>2</sub>O<sub>5</sub> из оксидов  $\Delta_r H(T) = -19450 \pm 3,56$  Т.

А. Б. Быков

$\text{Y}_2\text{Cu}_2\text{O}_5$

№ 34229

1989

18 Б3052. Поля стабильности в системе  $\text{Y}-\text{Cu}-\text{O}$  и термохимические данные соединений  $\text{Y}_2\text{Cu}_2\text{O}_5$  и  $\text{YCuO}_2$ . Stability fields in the system  $\text{Y}-\text{Cu}-\text{O}$  and thermochemical data of  $\text{Y}_2\text{Cu}_2\text{O}_5$  and  $\text{YCuO}_2$  / Wiesner U., Krabbes G., Ritschel M. // Mat. Res. Bull.— 1989.— 24, № 10.— С. 1261—1266.— Англ.

Фазовая диаграмма системы  $\text{Y}-\text{Ba}-\text{Cu}-\text{O}$  исследована в субсолидусной части тройной системы  $\text{Y}-\text{Cu}-\text{O}$  методами ТГ, РФА и кулонометрич. Тт в ячейке с тв. электролитом. Установлено существование трехфазных обл.  $\underline{\text{Y}_2\text{Cu}_2\text{O}_5 \text{ (I)}} + \text{CuO} + \text{Cu}_2\text{O}$ ,  $\text{I} + \underline{\text{YCuO}_2 \text{ (II)}} + \text{Cu}_2\text{O}$ , соединение II находится в равновесии с

163, 195

X.1990, N/18

$\text{Y}_2\text{O}_3 + \text{Cu}$  и  $\text{Cu}_2\text{O} + \text{Cu}$ . Свободные энергии образования  $\Delta_f G$  I и II определены методом э. д. с. с тв. электролитом. Рекомендованы  $-\Delta_f H$  (II, 298 К, кДж/моль) = 1070,  $S$  (II, 298 К, Дж/моль К) = 91, для I 2297 и 171, соотв. Величина  $\Delta_f H$  (I) более отрицательна, чем лит. эксперим. данные, полученные в предположении сосуществования фаз I— $\text{Y}_2\text{O}_3$ — $\text{Cu}_2\text{O}$ . Для образования I из оксидов получено ур-ние  $\Delta_f G = -19\,450 + 3,56 T$  Дж/моль К. I является стабильным соединением относительно простых оксидов без ограничения нижней т-ры, что отличается от вывода ранних исследований.

Л. А. Резницкий

$Y_2Cu_2O_5$

On 34229

1989

112: 12572g Stability fields in the system yttrium-copper-oxygen and thermochemical data of yttrium copper oxides ( $Y_2Cu_2O_5$  and  $YCuO_2$ ). Wiesner, U.; Krabbes, G.; Ritschel, M. (Zentralinst. Festkoerperphys. Werkstoffforsch., Akad. Wiss. DDR, DDR-8027 Dresden, Ger. Dem. Rep.). *Mater. Res. Bull.*, 1989, 24(10), 1261-6 (Eng). The Cu-O-Y system was studied of 700-900° by thermogravimetry, gas coulometry and x-ray diffraction.  $Y_2Cu_2O_5$  exists in the 3-phase area  $Y_2Cu_2O_5 + Y_2O_3 + YCuO_2$ ,  $Y_2Cu_2O_5 + CuO + Cu_2O$  and  $Y_2Cu_2O_5 + YCuO_2 + Cu_2O$ . The enthalpy of formation of  $Y_2Cu_2O_5 = -2297$  kJ/mol. The free energy of reaction for the formation of  $Y_2Cu_2O_5$  from  $Y_2O_3 + CuO$  is  $-19450 + 3.56T$ .

(4 Hf)

C.A. 1990, 112, N2

Хриз О5

1990

3 Б2128. Исследования кристаллической структуры  $\text{Y}_2\text{Cu}_2\text{O}_5$  и природы непериодических плоских дефектов в  $\text{Y}_2\text{Cu}_2\text{O}_5$  с помощью просвечивающей электронной микроскопии. Transmission electron microscope studies of the crystal structure of  $\text{Y}_2\text{Cu}_2\text{O}_5$  and the nature of non-periodic planar defects in  $\text{Y}_2\text{Cu}_2\text{O}_5$  / Baba-Kishi K. Z., Camps R. A., Thomas P. A. // J. Phys. Condens. Matter. — 1990. — 2, № 23. — С. 5085—5095. — Англ.

С помощью просвечивающей электронной микроскопии высокого разрешения проведено исследование фазы  $\text{Y}_2\text{Cu}_2\text{O}_5$  (I), существующей в образцах  $\text{YBa}_2\text{Cu}_2\text{O}_{7-\delta}$  и  $\text{Y}_{1.85}\text{Sr}_{0.15}\text{CuO}_{4-\delta}$ . Параметры ромбич. решетки I (соединение изоструктурно  $\text{Ho}_2\text{C}_2\text{O}_5$ ):  $a = 1,247$ ,  $b = 1,081$ ,  $c = 0,3495$  нм. В I обнаружены плоские дефекты, расположенные случайным образом параллельно (200). Высказано предположение, что незначит. кол-ва Ba, не вступившего в р-цию, накапливаются на дефектах. Вектор смещения плоских дефектов  $1/2 [014]$ . В. Б. Калинин

Кристал-  
структур

Х. 1991, № 3

$Y_2CuO_5$

$YCuO_3$

(16)

Он 34593

1990

4 Б3082. Фазовые соотношения и кислородные потенциалы в системе Cu— $\langle Cu_2O_3 \rangle$ — $Y_2O_3$ . Phase relations and oxygen potentials in the Cu— $\langle Cu_2O_3 \rangle$ — $Y_2O_3$  system / Borowiec K., Kolbrecka K. // J. Less—Common Metals.— 1990.— 163, № 1.— С. 143—149.— Англ.

Методом измерения э. д. с. твердофазных ячеек изучены фазовые соотношения в системе Cu— $\langle Cu_2O_3 \rangle$  (I) —  $Y_2O_3$  (II) при 750—1000° С и рассчитаны ПТ кислорода. Образцы в системе приготовлены нагреванием соотв-щих кол-в Cu,  $Cu_2O$  (III),  $CuO$  (IV) и II и исследованы с помощью РФА. Представлена фазовая диаграмма системы при 950° С. В области 750—1000° С устойчивы два купрата:  $Y_2Cu_2O_5$  (V) и  $YCu_2O$  (VI). Купрат  $YCuO_3$  устойчив только при высоких давл. кислорода. Рассчитаны энергии Гиббса  $\Delta_f G^\circ$  р-ций II (тв.) + 2IV (тв.) = V (тв.) и I/2II (тв.) + I/2III (тв.) = VI (тв.), равные  $-72579 + 4,24 T$  и  $-32977 + 4,95 T$  Дж/моль, соответственно. Л. Г. Титов

ж. 1991, № 4

$\text{Cu}_2\text{Y}_2\text{O}_5$  0734593

1990

, 113: 238879v Phase relations and oxygen potentials in the copper-copper oxide ("Cu<sub>2</sub>O<sub>3</sub>")-yttrium oxide system. Borowiec, K.; Kolbrecka, K. (Inst. Solid State Technol., Warsaw Univ. Technol., 00-664 Warsaw, Pol.). *J. Less-Common Met.* 1990, 163(1), 143-9 (Eng). Phase relations in the Cu-Cu<sub>2</sub>O<sub>3</sub>-Y<sub>2</sub>O<sub>3</sub> system were studied by the equilibration and quenching technique. In the temp. range 750-1000° two cuprates, Y<sub>2</sub>Cu<sub>2</sub>O<sub>5</sub> and YCuO<sub>2</sub>, are stable. The third cuprate, YCuO<sub>3</sub>, exists only at high oxygen pressure. To det. the thermodn. stabilities of Y<sub>2</sub>Cu<sub>2</sub>O<sub>5</sub> and YCuO<sub>2</sub> the equil.  $\text{Y}_2\text{Cu}_2\text{O}_5(\text{s}) = 2\text{YCuO}_2(\text{s}) + 1/2\text{O}_2(\text{g})$  and  $2\text{YCuO}_2(\text{s}) = \text{Y}_2\text{O}_3(\text{s}) + 2\text{Cu}(\text{s}) + 1/2\text{O}_2(\text{g})$  were studied by means of solid-state emf. measurements. From the data obtained, the relationships were calcd. for the Gibbs energy.

(kp)

c.a.1990, 113, n26

Y Liu D5

1990

113: 66334m Standard Gibbs free energy of formation of superconducting yttrium barium copper oxide ( $\text{YBa}_2\text{Cu}_3\text{O}_x$ ) and related compounds in the yttrium oxide-barium oxide-copper oxide system. Fan, Zhanguo; Ji, Chunlin; Zhao, Zhongxian (Northeast Univ. Technol., Shenyang, Peop. Rep. China 110006). *J. Less-Common Met.* 1990, 161(1), 49-59 (Eng). Four galvanic cells were constructed with single-crystal  $\text{CaF}_2$  solid electrolytes. From the cell emfs at 950-1200 K, the std. Gibbs free energies of formation of  $\text{Y}_2\text{Cu}_2\text{O}_5$ ,  $\text{Y}_2\text{BaCuO}_5$ ,  $\text{YBa}_2\text{Cu}_3\text{O}_x$ , and  $\text{BaCuO}_2$  from the constituent oxides were calcd. The phase relationships in the sections of  $\text{CuO}-\text{Y}_2\text{Cu}_2\text{O}_5-\text{Y}_2\text{BaCuO}_5-\text{YBa}_2\text{Cu}_3\text{O}_x$  were detd. and the directed reaction process in prepg. the single-phase  $\text{YBa}_2\text{Cu}_3\text{O}_x$  is discussed.

AB

(f2)

②  $\text{Ba}_2\text{YCu}_3\text{O}_7$ ,  $\text{BaCuO}_2$

c.A. 1990, 113, n 8

Учебник

1990

16 Б2294. Фазовые равновесия при термической диссоциации  $\text{Y}_2\text{Cu}_2\text{O}_5$  / Голиков Ю. В., Янкин А. М., Захаров Р. Г., Дубровина И. Н., Балакирев В. Ф. // Сверхпроводимость: Физ., химия, техн.— 1990.— 3, № 3.— С. 516—522.— Рус.

Термическая диссоциация  $\text{Y}_2\text{Cu}_2\text{O}_5$  (циркуляц. метод в сочетании с методом э. д. с. и РФА) при т-рах 750—1100°С при переменном давл. кислорода протекает в 5 этапов:  $\text{Y}_2\text{Cu}_2\text{O}_5 \rightarrow \text{Y}_2\text{Cu}_2\text{O}_5 + \text{CuO}$  (1)  $\rightarrow \text{Y}_2\text{Cu}_2\text{O}_5 + \text{Y}_{c-\text{Cu}_2-\text{O}_2} + \text{Y}_2\text{O}_3$  (2)  $\rightarrow \text{Y}_{c-\text{Cu}_2-\text{O}_2} + \text{Y}_2\text{O}_3$  (3)  $\rightarrow \text{Y}_{c-\text{Cu}_2-\text{O}_2} + \text{Y}_2\text{O}_3 + \text{Cu}$  (4)  $\rightarrow \text{Y}_2\text{O}_3 + \text{Cu}$  (5). Этап 2 описывается ур-ием  $\lg(P_{\text{O}_2}, \text{ Па}) = -12990,9/T + 13,8106$ , этап 4— $\lg(P_{\text{O}_2}, \text{ Па}) = -19399/T + 14,163$ . Оба обнаруженные в системе дальтонида  $\text{Y}_2\text{Cu}_2\text{O}_5$  и  $\text{Y}_{c-\text{Cu}_2-\text{O}_2}$  имеют обл. гомогенности, по составу зависящие от т-ры и давл. кислорода. Построены элементы диаграммы состояния системы  $\text{Y}-\text{Cu}-\text{O}$ . Выбраны объекты и методы исследования для построения полной диаграммы состояния системы  $\text{Y}-\text{Cu}-\text{O}$ .

Резюме

X. 1990, N 16

Yux

1990

114: 151572m Phase diagram and thermochemistry of the copper-yttrium system. Itagaki, Kimio; Qi, Guojun; An Mey, Sabine; Spencer, Philip J. (Res. Inst. Miner. Dress. Metall., Tohoku Univ., Sendai, Japan). *CALPHAD: Comput. Coupling Phase Diagrams Thermochem.* 1990, 14(4), 377-84 (Eng). Exptl. information on the phase equil. and thermochem. of the Cu-Y system were combined with the help of a computer optimization program to achieve a self-consistent anal. description of the thermodn. properties of Cu-Y alloys. The resulting set of coeffs. allows calcn. of thermodn. functions for the pure components, stoichiometric phases or soln. phases in the system, as well as calcn. of the equil. between the phases.

metalograph  
cf - fa

c.a. 1991, 114, n16

Yi СиэД5

07 34863

1990

" 3G295. Теплоемкость соединений  $R_2Cu_2O_5$  ( $R=Y, Tb, Dy, Ho, Er, Tm, Yb, Lu$ ) при низких температурах. Low temperature heat capacity of  $R_2Cu_2O_5$  ( $R=Y, Tb, Dy, Ho, Er, Tm, Yb, Lu$ ) compounds/Moshchalkov V. V., Samarlin N. A., Zoubkova Y., MIII B. V./Physica B.—1990.—163, № 1—3.—С. 237—238.—Англ.; GEHCB, GIFKB, GOFCD

Однофазные образцы  $R_2Cu_2O_5$  ( $R=Y, Tb, Dy, Ho, Er, Tm, Yb, Lu$ ) получены твердофазным синтезом при т-ре  $T=1030-1050$  °C на воздухе. Измерения теплоемкости проводили калориметрическим импульсным методом в интервале т-р 2.0—30 К. Т-ры Нееля образцов лежат в интервале от 10 до 25 К. Для соединений с Yb и Dy наблюдали дополнительные пики при  $T=6,8$  и  $9,5$  К соответственно. Полагают, что эти пики обусловлены переходом, связанным с переориентацией спинов. На С(Т) в образцах с Ho, Tm, Tb и Yb наблюдали аномалии. Шотки вследствие расщепления основного состояния РЭЭ кристаллич. полем.

(+7)

Я. М.

ф. 1991, № 3 (с. В.)

Y<sub>2</sub>CuO<sub>5</sub>

1990

16 Б3011. Низкотемпературные теплоемкости соединений  $R_2Cu_2O_5$  ( $R=Y, Tb, Dy, Ho, Er, Tm, Yb, Lu$ ). Low temperature specific heat of  $R_2Cu_2O_5$  ( $R=Y, Tb, Dy, Ho, Er, Tm, Yb, Lu$ ) compounds: [Pap.] Proc. Yamada Conf. 25 Magn. Phase Transit., Osaka, 13—16 Apr., 1990 / Moshchalkov V. V., Samarin N. A., Grishchenko I. O., Mill B. V., Zoubkova Y. // J. Magn. and Magn. Mater.—1990.—90—91.—C. 533—535.—Англ.

В интервале т-р 2—30 К в калориметре с импульсным подогревом измерены теплоемкости купратов  $R_2Cu_2O_5$  с  $R=Y, Tb, Dy, Ho, Er, Tm, Yb, Lu$  (I—VIII соотв.). Т-ные зависимости  $C_p$  представлены графически. Все образцы характеризуются  $\lambda$ -образной аномалией  $C_p$ , соотв-щей антиферромагн. упорядочению  $Cu^{2+}$  при т-рах Нееля: 10,5; 10; 12,3; 25; 16,7; 15 и 17,3 для I—VIII соотв. Соединение VII имеет дополнит. резкий пик  $C_p$  при 6,8 К, связанный с переориентацией спинов. Аналогичный переход отмечен у III при 9,5 К. Соедине-

( $C_p, \Delta - 30K$ )

№ 77

X. 1991, N/16

ния IV и VI имеют дополнит. аномалии типа Шоттки. Значения  $C_p$ , 27 К и  $\theta_D$  I—VIII составили: 10 Дж/моль·К и 379 К, 23 и —, 15 и 336, 27 и 301, 31 и —, 16 и 352, 16 и —, 14 и 355. То обстоятельство, что почти все купраты имеют только один магн. переход в соответствии с калориметрич. и магн. измерениями, является убедительным аргументом в пользу сильного взаимодействия между медной и редкоземельной подсистемами в  $R_2Cu_2O_5$ . Результатом этого является то, что упорядочение обеих магн. подсистем может происходить при одной температуре.

А. С. Гузей

$\text{Y}_2\text{Cu}_3\text{O}_5$  1990  
Shimpo Ryokichi,  
Nakamura Yasushi.

AfB HAXOM KUNIZOKU 2AK-  
KAICU. J. Jap: Inst. Me-  
tals. 1990. 54, NS. C.  
549-555. (Cu.  $\text{YBa}_2\text{Cu}_3\text{O}_{6.5+x}$ )

Y2LwD5      DM-36311      1490

Y2LwZ      Suzuki R.O., Okada S.,  
et al;

mechan. Mater. Trans. JIM, 1990,  
6+G      31, N 12, 1078-1084

$\text{YCu}_2$

1990

Uwatori Yoshiya,  
Okita Hikaru et al.

J. Phys. Soc. Jap.

1990. 59, N10, p. 3443-

3446.



(See  $\text{LaCu}_2$ ; I)

Y<sub>2</sub>CuO<sub>5</sub>

1990

9 Б2290. Термохимические исследования в системах Y-Cu-O и Ba-Cu-O. Thermochemical investigations in the systems Y—Cu—O and Ba—Cu—O /Wiesner U., Ritschel M., Krabbes G. //MACHTEC'90: Mater. Sci. High Technol.: Int. Symp., Dresden, Apr. 24—27, 1990: Collect. Abstr. Vol. 1.—Dresden, s. a. .—С. 124 .—Англ.

При т-рах 700—950° С методами ТГА, РФА и кулонометрич. ТТ исследованы равновесные давл. разложения Y<sub>2</sub>Cu<sub>2</sub>O<sub>5</sub> (I) и BaCuO<sub>2</sub> (II). В системе Y-Cu-O найдены 5 трехфазных областей. Показано, что соед. I распадается в 2 стадии:  $Y_2Cu_2O_5 = 2 YCuO_2 + 1/2 O_2$  и  $YCuO_2 = 1/2 Y_2O_3 + Cu + 1/4 O_2$ . Определены термохим. данные  $\Delta H^\circ (298) = -1070$  и  $-2297$  кДж/моль и  $S^\circ (298) = 91$  и  $171$  Дж/(моль•К) для  $YCuO_2$  и I, соотв. В субсолидусной части системы Ba-Cu-O найдены 5 трехфазных областей при 850° С, содержащих купраты бария II и  $BaCu_2O_2$ . В равновесных условиях др. фазы (в частности,  $Ba_2CuO_3$  и  $Ba_3CuO_4$ )

( $K_p$ ,  $\Delta H$ )

4

87

X. 1993, № 9

не обнаружены. В расплавах на линии ликвидуса найдено меньшее содержание O, чем в адекватных субсолидусных смесях при любых отношениях II/CuO.

Ф. М. Спиридонов

Y<sub>2</sub>CuO<sub>5</sub>

YCuO<sub>2</sub>

1990

17 Б3086. Зависимость фазовой диаграммы Cu<sub>2</sub>O—CuO—Y<sub>2</sub>O<sub>3</sub> от давления кислорода. Oxygen pressure dependence of the Cu<sub>2</sub>O—CuO—Y<sub>2</sub>O<sub>3</sub> phase diagram / Zhang Wei, Osamira Kozo // Z. Metallk.— 1990.— 81, № 3.— С. 196—201.— Англ.; рез. нем.

Методами ДТА, ТГА, рентгенографии и электронного микронализа изучена зависимость фазовых соотношений в системе Cu<sub>2</sub>O (I)—CuO (II)—Y<sub>2</sub>O<sub>3</sub> (III) от давл. O<sub>2</sub>, т-ры и состава. Установлено, что т-ра превращения Y<sub>2</sub>Cu<sub>2</sub>O<sub>5</sub> (IV) в YCuO<sub>2</sub> (V) возрастает, а т. пл. V уменьшается с ростом парц. давл. O<sub>2</sub>. В системе существуют три инвариантных равновесия: L+III $\rightleftharpoons$  V+IV при 1383 К и давл. O<sub>2</sub> ниже 0,17 бар; L+V $\rightleftharpoons$  I+IV при 1353 К и давл. O<sub>2</sub> ниже 0,16 бар и L $\rightleftharpoons$  IV+I+II при 1320 К и давл. O<sub>2</sub> ниже 0,45 бар.

Л. Г. Титов

X. 1990, N 17

$\text{Y}_2\text{Cu}_5$

1990

113: 219014t Phase diagram of copper(I) oxide-copper(II) oxide-yttrium oxide system in air. Zhang, Wei; Osamura, Kozo (Dep. Metall., Kyōto Univ., Kyoto, Japan 606). *Metall. Trans. A* 1990, 21A(8), 2243-8 (Eng). The isobaric phase diagram of the  $\text{Cu}_2\text{O}-\text{CuO}-\text{Y}_2\text{O}_3$  ternary system was investigated under 0.21 atm. oxygen partial pressure mainly by thermogravimetric and differential thermal analyses. The present system was confirmed to consist of four solid phases:  $\text{Y}_2\text{O}_3$ ,  $\text{Y}_2\text{Cu}_2\text{O}_5$ ,  $\text{CuO}$ , and  $\text{Cu}_2\text{O}$ . The  $\text{Y}_2\text{Cu}_2\text{O}_5$  phase is formed by the peritectic reaction with  $\text{Y}_2\text{O}_3$  at 1493 K. An univariant reaction,  $\text{L} \rightleftharpoons \text{Cu}_2\text{O} + \text{Y}_2\text{Cu}_2\text{O}_5$ , appears at 1368 K,  $\text{Cu}_2\text{O}$  is stable at high temps. and transforms to  $\text{CuO}$  at 1290 K.

page back  
clearly

C.A. 1990, 113, N24

Yield  
 $\text{Y}_2\text{Cu}_2\text{O}_5$

1991

( $\Delta_f H$ )

116: 114537a Thermochemical investigations on the yttrium copper oxide compounds  $\text{YCuO}_3$  and  $\text{Y}_2\text{Cu}_3\text{O}_7$ . Glathe, F.; Oppermann, H.; Reichelt, W. (Inst. Anorg. Chem., Tech. Univ. Dresden, Dresden, Germany). Z. Anorg. Allg. Chem. 1991, 606, 41-9 (Ger). Emf. measurements were used to det. the decompr. pressures of  $\text{YCuO}_3$  and  $\text{Y}_2\text{Cu}_3\text{O}_7$ . The heats of formation and the std. thermodn. functions of these compds. were derived.

C.A. 1992, 116, N12

Xie

1991

( $C_p$ , 2-80K)

(4) 18

114: 254893b Low temperature heat capacities of yttrium-copper and rare earth-copper (RECu) (RE = holmium, dysprosium, terbium and gadolinium). Ho, James C.; He, Shulin; Wu, Changyao; Chien, Teh Shih; Pavovic, Arthur S. (Natl. Inst. Aviat. Res., Wichita State Univ., Wichita, KS 67203 USA). *Chin. J. Phys. (Taipei)* 1991, 29(2), 147-55 (Eng.). Calorimetric measurements between 2 and 80 K were carried out on intermetallic compd. YCu and antiferromagnetic HoCu, DyCu, TbCu and GdCu. For YCu, the limiting value of Debye temp.  $\theta_D(0)$  and the electronic heat capacity coeff.  $\gamma$  were obtained to be 260 K and 0.0020 J/g.atom-K<sup>2</sup>, resp. For the whole temp. range, however, a single  $\theta_D$  value of 230 K appears to be a better fit based on the Debye function. For the rare earth compds., by using the similarly detd. Debye temps. (150 K for DyCu and 160 K for the others) and assuming the same  $\gamma$  value, magnetic contributions were extd. from the total heat capacities. Below their resp. Neel temp.  $T_N$ , anomalous peaks often prevail. Some of them are believed to be associ. with spin reorientations. For TbCu and GdCu the interpretations become more complicated due to structural transformations with larger hysteresis near  $T_N$ . Even so, this work provides a useful basis for further elucidating the peculiar magnetic properties of these rare earth comnds.

C.A. 1991, 114, n26

Ho, He, DyCu, TbCu, GdCu

Y<sub>2</sub>ReB<sub>5</sub>-Конюкова Г.И. С., Иламо-1991  
шахт. №1. гл. 4 гр.;

Кандориентрическое исследование  
в системе Y-Ba-Cu-O.

Научно-исследовательский институт  
по проблемам физики и химии гетероген-  
ных систем. 24-26 сентября, Красно-  
ярск. 127

ЯРСК, 1991, м. 1, сmp. 127.

$\text{YCu}_2$  Uwatoko Yoshiya,  
Oomi Fendo et al.,  
1991

меняное  
расшире-  
ние

J. Phys Soc. Jap. 1991.  
60. N 11. C. 3823-3828.

(cell.  $\bullet \text{CoCu}_2; \overline{1}$ )

$Y_2Cu_2O_5$

Om 36592

1992

, 117: 179443f Heat capacity of yttrium cuprate  $Y_2Cu_2O_5$  at low temperatures (5-335 K). Gavrichev, K. S.; Gorbunov, V. I.; Golushina, L. N.; Lazarev, V. B.; Nikiforova, G. E.; Vedernikov, A. F.; Totrova, G. A.; Shaplygin, I. S. (Inst. Obshch. Neorg. Khim. Kurnakova, Russia). *Zh. Neorg. Khim.* 1992, 37(7), 1583-7 (Rus.). Adiabatic calorimetry was used to measure the heat capacity,  $Y_2Cu_2O_5$  at 5-335 K. An anomaly was obsd. with a max. at 114 K, which is assoed. to magnetic ordering. Thermodn. functions at 5-335 K, including 298.15 K, were calcd.

( $C_p$ )

C.A. 1992, 117, N/18

Y<sub>2</sub>Re<sub>2</sub>O<sub>5</sub> 1992  
Kon'kova T.S., Matyushkin Yu.N.,  
et al.)

sfK, J. Chem. Thermodyn., 1992,  
kanopus. 24(3), 265-31.  
рекоменд.

[Cu. ● YBa<sub>4</sub>; I)

Y<sub>2</sub>Li<sub>2</sub>D<sub>5</sub>

1992

Y<sub>2</sub>Li<sub>2</sub>D<sub>2</sub>

Менехов Д.Н.,

дл. физ. химии, 1992,  
66, №, 1677-1680.

Gr

(ал. Ли баэ)



Li<sub>3</sub>D<sub>0.5+2;T</sub>)

Y<sub>2</sub>LiD<sub>4</sub>

[обр. 36836]

1992

YLiD<sub>2</sub>

Мурсалиев Т. К.,

Закиуева С. Н. и др.

AH, AG,  
периодич.  
свойства.

ДАН, 1992, 326, № 4,  
662-667.

Y2O3BaO-CuO<sub>x</sub>

1992

9 Б3059. Термодинамическое исследование областей устойчивости фаз в системе Y<sub>2</sub>O<sub>3</sub>—BaO—CuO<sub>x</sub>. A thermodynamic study of the phase stability regions in the system Y<sub>2</sub>O<sub>3</sub>—BaO—CuO<sub>x</sub>. /Rian Gjertrud //IUK — rapport/Norg. tekn. hogsk .—1992 .—№ 65 .—С. I—IX, 1—213 .—Англ.

В калориметре р-рения с использованием NaPO<sub>3</sub> в кач-ве р-рителя определены теплоты образования (в кДж/моль) из соотв-щих оксида при 650° С след. соед. системы Y<sub>2</sub>O<sub>3</sub>—BaO—CuO<sub>x</sub>: Y<sub>2</sub>Cu<sub>2</sub>O<sub>5</sub> ( $4,8 \pm 8$ ), BaCuO<sub>2</sub> ( $-57 \pm 12$ ), Ba<sub>2</sub>CuO<sub>3</sub> ( $-129 \pm 15$ ), Y<sub>2</sub>BaO<sub>4</sub> ( $-85 \pm 12$ ), Y<sub>4</sub>Ba<sub>3</sub>O<sub>9</sub> ( $25 \pm 50$ ), Y<sub>2</sub>BaCuO<sub>5</sub> ( $-56 \pm 18$ ), YBa<sub>2</sub>Cu<sub>4</sub>O<sub>8</sub> ( $-105 \pm 18$ ), YBa<sub>2</sub>Cu<sub>3</sub>O<sub>6,7</sub> ( $-75 \pm 22$ ), YBa<sub>4</sub>Cu<sub>3</sub>O<sub>8,5</sub> ( $-238 \pm 25$ ). Методами ДТА и ПА исследованы фазовые равновесия в подсистемах CuO<sub>x</sub>—BaO и YO<sub>1,5</sub>—CuO при давл. O<sub>2</sub> 0,21 и 1,0 атм. На основании полученных эксперим. данных и результатов машинного моделирования для области т-р от 600° С до т. пл. составляющих оксидов и для давл. O<sub>2</sub> в интервале от 0,1 до 1,0 атм построена фазовая диаграмма и получено согласованное термодинамич. описание фазовых равновесий в системе YO<sub>1,5</sub>—BaO—CuO<sub>x</sub>. В. Ф. Байбуз

1992

№ 73

X. 1993, № 9

$\chi_2 \text{ BalD}_5$

1993

Mauskeber H.U.,

Ces. XII. XI. 1993, N2,  
c. 119 - 122.

( $\Delta_5 H$ )

(all- $\chi_2 \text{ BalD}_5$ ;  $\Gamma$ )

$\gamma_2 \text{ Cu}_2 \text{ O}_5$

1993

120: 174922p Heat capacity of the binary oxide  $\text{Y}_2\text{Cu}_2\text{O}_5$  over the interval 300-1070 K. Sharpataya, G. A.; Fedoseev, A. D.; Nikiforova, G. E. (Inst. Obshch. Neorg. Khim. im. N. S. Kurnakova, Moscow, Russia). *Neorg. Mater.* 1993, 29(12), 1694-6 (Russ). Adiabatic calorimetry was used to measure the heat capacity of  $\text{Y}_2\text{Cu}_2\text{O}_5$  at 300-1070 K and the std. values for the thermodynamic functions were derived.

( $C_p$  300 - 1070 K)  
memoguch.  $\phi$ -III

c.a. 1994, 120, n14

Y<sub>2</sub>CuO<sub>4</sub>

1993

№ 37687

11 Б3004. Термоемкость двойного оксида Y<sub>2</sub>Cu<sub>2</sub>O<sub>5</sub> в интервале 300—1070 К /Шарпатая Г. А., Федосеев А. Д., Никифорова Г. Е. //Неорган. матер. .—1993 .—29 ,№ 12 .—С. 1694—1696 .—Рус.

fr

X. 1994, N 11

Y<sub>2</sub>Cu<sub>3</sub>O<sub>5</sub>

1993

120: 228679k Estimation of standard entropies of complex oxides in the Y-Ba-Cu-O system. Zhang, Hengzhong; Zhang, Pingmin; Chen, Xinmin (Dep. Chem., Cent. South Univ. Technol., Changsha, Peop. Rep. China 410083). Youse Jinshu 1993, 45(1), 61-3 (Ch). A method was developed for estg. the std. entropies of complex oxides from entropy contributions of their constituent simple oxides, and the entropy contributions of 36 simple oxides were optimized. The std. entropies of the complex oxides Y<sub>2</sub>Cu<sub>3</sub>O<sub>5</sub>, BaCuO<sub>2</sub>, Y<sub>2</sub>BaCuO<sub>5</sub>, and YBa<sub>2</sub>Cu<sub>3</sub>O<sub>6.5</sub> in Y-Ba-Cu-O system were estd. to be resp. 219.19, 103.59, 239.58 and 316.78 J/mol·K.

(18)

□

④2



C.A. 1994, 120, N/18

$Y_2Cu_2O_5$  Moiseev F., Vatolin N.,  
 $YCuO_2$  et al. 1994

Thermochim. acta, 237,  
N<sup>o</sup>, 1994. C. 409-419.

(c.u.  $\bullet YBa_2Cu_3O_7$ ; I)

$YCuO_{2+\delta}$  1994  
 $0 \leq \delta \leq 2/3$  Ramirez A. P.,  
Cava R.J. et al.

Phys. Rev. B. 1994. 49,  
N 22.C. 16082-16085.

(ccc.  $ZnCuO_{2+\delta}$ ; I)

Cu-Y-O

1995

Cu-Y-S

Cu-Y-O-S

124: 213077w Thermodynamics and phase equilibrium of Cu-Y-O, Cu-Y-S, Cu-Y-O-S liquid solutions. Du, Ting; Li, Guodong (Central Iron and Steel Research Institute, Ministry Metallurgical Industry, Beijing, Peop. Rep. China 100081). *Trans. Nonferrous Met. Soc. China* 1995, 5(3), 16-20 (Eng). Thermodn. of Cu-Y-O, Cu-Y-S and Cu-Y-O-S solns. at 1200° were studied using solid electrolyte cell and chem. equil. method. The equil. const. of deoxidn., desulfurization and deoxysulfurization by Y, the Gibbs std. free energies of the formation of  $Y_2O_3$ , YS and  $Y_2O_2S$  in Cu-based soln., activity interaction coeffs. of S and Y, temp. dependence of std. free energy of soln. of Y in Cu, self-interaction coeffs. of Y in liq. Cu were obtained. The phase pptn. diagram for Cu-Y-O-S system was plotted. The thermodn. condition of the existence of  $Y_2O_3$ , YS and  $Y_2O_2S$  in liq. Cu was detd.

reproduced  
partial. publ.

C.A. 1996, 124, N16

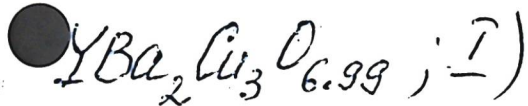


1995

Hengzhong Zhang,  
Zheng Fang, et al.

(4f) J. Solution Chem. 1995,  
24(6), 565-78.

(c.u.)



$\text{Y}_2\text{Cu}_3\text{O}_5$

1995

123: 323417u Measurement of the free energy of formation of  $\text{Y}_2\text{Cu}_3\text{O}_5$  by the emf. method. Kim, Soo Kweon (Dept. of Electric Power Research, KEPCO Research Center, S. Korea). *Yoop Hakhoechi* 1995, 32(9), 1040-6 (Korean). The formation free energy of  $\text{Y}_2\text{Cu}_3\text{O}_5$  was measured by using an emf. cell with solid electrolyte based on partial ion exchange  $(\text{Cu}^{2+}, \text{Na}^+)-\beta/\beta''-\text{Al}_2\text{O}_3$ . The formation cell was:  $\text{Pt}(\text{O}_2)/\text{Y}_2\text{Cu}_3\text{O}_5 + \text{Y}_2\text{O}_3//(\text{Cu}^{2+}, \text{Na}^+)-\beta/\beta''-\text{Al}_2\text{O}_3//\text{CuO}/(\text{O}_2)\text{Pt}$ . The formation reaction and the derived free energy as a function of temp. are:  $2\text{CuO} + \text{Y}_2\text{Cu}_3\text{O}_5$  and  $13.19 - 16 - 25 \cdot 10^{-3}\text{T/K}$  in kJ/mol.

(46)

C.A. 1995, 123, N 24

Yield

1995

122: 223977n Estimation of average heat capacities of condensed phase transformation products in the Y-Ba-Cu-O system. Moiseev, G.; Vatolin, N.; Stepanek, B.; Sestak, J. (Inst. Metallurgy, Ural Division Russian Academy Sciences, Ekaterinburg, Russia 620219). *J. Therm. Anal.* 1995, 43(2), 469-76 (Eng). A method of calcn. of av. heat capacities of phase transformation products of complex oxides is suggested. The method takes into account the phys. state of products and the increase in the heat capacities of products due to the change of entropy at a phase transformation. Av. heat capacities of products formed in a congruous melting of compds. ( $YCuO_2$  and  $Y_4Ba_3O_9$ ), in an incongruous melting of compds. ( $Y_2Cu_2O_5$ ,  $BaCuO_2$ ,  $BaCu_2O_2$ ,  $Y_2BaCuO_5$ ,  $YBa_2Cu_3O_7$ ,  $YBa_2Cu_3O_8$ ) and in a decompn. in a cryst. state of compds. ( $Y_2BaO_4$ ,  $Y_2Ba_2O_5$ ,  $Y_2Ba_4O_7$ ,  $Ba_2CuO_3$ ,  $Ba_3Cu_5O_8$ ,  $YBa_2Cu_{1.5}O_{7.5}$ ,  $YBa_2Cu_4O_8$ ,  $YBa_2Cu_5O_9$ ) were estd. by using three methods.

( $C_p$ )

$\text{R}(12) \parallel BaCuO_2$  u. gp.  
2)  $YBa_2Cu_3O_7$  u. gp.

c.a. 1995, 122, n/18

1995

Y<sub>2</sub>Al<sub>2</sub>O<sub>5</sub>

Y<sub>2</sub>Al<sub>2</sub>O<sub>5</sub>

122: 275422x Estimation of melting (decomposition) heat of some compounds in the Y-Ba-Cu-O system. Moiseev, G.; Vatolin, N.; Sestak, J.; Sestakova, V. (Inst. Metallurgy, Ural Division Russian Academy Sciences, Ekaterinburg, Russia 620219). *J. Therm. Anal.* 1995, 43(2), 477-88 (Eng). A thermodynamical method for the estn. of decomprn. heat in a crystal state, incongruous and congruous melting of compds. using temp. dependencies of total entropies of compds. was suggested. Entropies and heats of phase transformation of YBa<sub>2</sub>Cu<sub>3</sub>O<sub>6</sub>, YBa<sub>2</sub>Cu<sub>3</sub>O<sub>7</sub>, YBa<sub>2</sub>Cu<sub>3.5</sub>O<sub>7.5</sub>, YBa<sub>2</sub>Cu<sub>4</sub>O<sub>8</sub>, YBa<sub>2</sub>Cu<sub>5</sub>O<sub>9</sub>, YBa<sub>4</sub>Cu<sub>3</sub>O<sub>8.5</sub>, Y<sub>2</sub>BaO<sub>4</sub>, Y<sub>2</sub>Ba<sub>2</sub>O<sub>5</sub>, Y<sub>2</sub>Ba<sub>4</sub>O<sub>7</sub>, Y<sub>4</sub>Ba<sub>3</sub>O<sub>9</sub>, YCuO<sub>2</sub>, Y<sub>2</sub>Cu<sub>2</sub>O<sub>5</sub>, Y<sub>2</sub>BaCuO<sub>5</sub>, Ba<sub>2</sub>CuO<sub>3</sub>, BaCuO<sub>2</sub>, BaCu<sub>2</sub>O<sub>2</sub>, Ba<sub>2</sub>Cu<sub>5</sub>O<sub>8</sub> were calcd. Data, obtained by the authors earlier, are discussed.

(Δ<sub>t2</sub>H, Δ<sub>t2</sub>S)  
①

Y<sub>2</sub>Ba<sub>2</sub>Cu<sub>3</sub>O<sub>7</sub> (Δ<sub>t2</sub>H, Δ<sub>t2</sub>S)



c.a. 1995, 122, N 22

$\text{Cu}_2\text{Y}_2\text{O}_5$

$\text{Cu YO}_2$

1995

22 Б339. Свободная энергия Гиббса образования твердых фаз  $\text{Cu}_2\text{Y}_2\text{O}_5$  и  $\text{CuYO}_2$ , определенная методом э.д.с.. Gibbs free energy of formation of the solid phases  $\text{Cu}_2\text{Y}_2\text{O}_5$  and  $\text{CuYO}_2$  determined by the E. M. F. method / Przybyło W., Fitzner K. // Thermochim. acta .— 1995 .— 264 .— С. 113—123 .— Англ.

Методом э.д.с определены свободные энергии Гиббса образования тв. фаз  $\text{CuYO}_2$  и  $\text{Cu}_2\text{Y}_2\text{O}_5$  в интервале т-р 973—1323К. Полученные результаты использованы для вывода изменений свободных энергий Гиббса р-ций образования этих соед. из соотв-щих оксидов. Для р-ции  $1/2\text{Cu}_2\text{O} + 1/2\text{Y}_2\text{O}_3 = \text{CuYO}_2$   $\Delta_f G = 7265 \pm 8,31$  Т Дж/моль и для р-ции  $2\text{CuO} + \text{Y}_2\text{O}_3 = \text{Cu}_2\text{Y}_2\text{O}_5$   $\Delta_f G = 6670 - 7,05$  Т Дж/моль.

В. Б. Байбуз

(ДБ)

X. 1996, N 22

$\text{Cu}_2\text{Y}_2\text{O}_5$

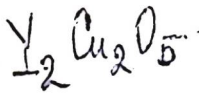
1995

$\text{Cu YO}_2$

124: 68131c Gibbs free energy of formation of the solid phases  $\text{Cu}_2\text{Y}_2\text{O}_5$  and  $\text{CuYO}_2$  determined by the E.M.F. method. Przybylo, W.; Fitzner, K. (Institute of Metallurgy and Materials Science, Polish Academy of Sciences, 25 Reymonta St., 30-059 Krakow, Pol.). *Thermochim. Acta* 1995, 264, 113-23 (Eng). By using an electrochem. cells with solid zirconia electrolyte: the Gibbs free energies of formation of the solid phases  $\text{CuYO}_2$  and  $\text{Cu}_2\text{Y}_2\text{O}_5$  were detd. at 973-1323 K. The results were used to derive the Gibbs free energy change of the reaction of formation of these two compds. from the resp. oxides.

(S<sub>f</sub> f)

C.A. 1996, 124, N6.



1995

F:  $\text{Y}_2\text{Cu}_2\text{O}_5$

P: I

1Б327. Энталпии образования  $\text{Y}_2\text{Cu}_2\text{O}_5$  и  $\text{BaCuO}_2$ . Enthalpies of formation of  $\text{Y}_2\text{Cu}_2\text{O}_5$  and  $\text{BaCuO}_2$  / Rais A., Ganteaume M., Decressac M., Rogez J., Mathieu J.-C. // Ann. chim. (Fr.). - 1995. 20, N 1. - С. 9-12. - Англ.; рез. англ., фр.

(ΔHf)

Энталпии образования  $\text{Y}_2\text{Cu}_2\text{O}_5$  (I) и  $\text{BaCuO}_2$  (II) из простых оксидов определены калориметрией р-рения при 298К. I и II синтезированы прокаливанием таблетированных смесей  $\text{Y}_2\text{O}_3$ ,  $\text{CuO}$  и  $\text{BaCO}_3$ . Двойной вращающийся калориметр Calsol использован для определения 'ДЕЛЬТА'[r] I и II с 4М  $\text{HNO}_3$ , в к-рой р-рение заканчивается за 4-7 ч. Полнота р-рения устанавливалась по конц-ии  $\text{Cu}^{2+}$  в р-ре, определенной по оптич. плотности и отсутствию тв. частиц при центрифугировании р-ра. Термохим. расчеты отнесены к  $3 \cdot 10^{-4}$  М р-ру. Определены 'ДЕЛЬТА'[f](I)= $15,3 \pm 6,0$  кДж/моль и 'ДЕЛЬТА'[f](II)= $-107 \pm 3$  кДж/моль из простых оксидов. 'ДЕЛЬТА'[f](I)

X. 1996 , N/

находится в хорошем согласии с величиной 15,0'-7,0 кДж/моль, полученной в работе Мацкевича [//J. Chem. of Siberia.-1993.-2.-С. 119] методом калориметрии р-рения в 6М HCl. Термодинамич. стабилизация I относительно простых оксидов определяется энтропийным фактором. Большая отриц. 'ДЕЛЬТА'[f](II) из оксидов обусловлена сильным основным характером BaO. Для образования из элементов рекомендованы 'ДЕЛЬТА'[f][298](I)=-2205'-'11 кДж/моль и 'ДЕЛЬТА'[f][298](II)=-812 кДж/моль. Библ. 31.. DHf.

$\text{Y Cu O}_2$

1995

F:  $\text{YCuO}_2$

P: 1

10Б313. Стандартные энталпии образования некоторых фаз в системе  $\text{YBaCuO}$ , вспомогательных для сверхпроводников. Standard enthalpies of formation of some phases in the  $\text{YBaCuO}$  system auxiliary to superconductors / Sestak Jaroslav, Moiseev German K. // 50th Calorim. Conf., Gaithersburg, Md, July 23-28, 1995: Program, Abstr., and Repts. - Gaithersburg (Md), 1995. - С. 188. - Англ.

$\Delta H_f$

С использованием лит. данных и эмпирич. зависимостей определены станд. энталпии образования из оксидов для следующих соединений:

$\text{YBa}[2]\text{Cu}[3]\text{O}[6]$ ,  $\text{YBa}[2]\text{Cu}[3]\text{O}[6,5]$ ,  $\text{YBa}[2]\text{Cu}[3]\text{O}[7]$ ,  
 $\text{YBa}[2]\text{Cu}[3,5]\text{O}[7,5]$ ,  $\text{YBa}[2]\text{Cu}[4]\text{O}[8]$ ,  $\text{YBa}[2]\text{Cu}[5]\text{O}[9]$ ,  
 $\text{YBa}[4]\text{Cu}[3]\text{O}[8,5]$ ,  $\text{Y}[2]\text{BaCuO}[5]$ ,  $\text{Y}[2]\text{Cu}[2]\text{O}[5]$ ,  $\text{YCuO}[2]$ ,  $\text{BaCuO}[2]$ ,  
 $\text{YCu}[2]\text{O}[2]$ ,  $\text{Ba}[2]\text{CuO}[3]$ ,  $\text{Ba}[3]\text{CuO}[4]$ ,  $\text{Ba}[2]\text{Cu}[3]\text{O}[5]$ ,  $\text{Ba}[3]\text{Cu}[5]\text{O}[8]$ ,  
 $\text{Y}[2]\text{BaO}[4]$ ,  $\text{Y}[2]\text{Ba}[2]\text{O}[5]$ ,  $\text{Y}[2]\text{Ba}[4]\text{O}[7]$ ,  $\text{Y}[4]\text{Ba}[3]\text{O}[9]$ . DHf.

X. 1996, N/0

Си<sub>6</sub>Y и др.

1996

8Б344. Энергии Гиббса интерметаллических фаз системы медь—иттрий / Рудный Е. Б. // Ж. физ. химии. — 1996. — 70, № 6. — С. 1007—1011  
— Рис.

(Δf<sub>g</sub>)

На основе данных об экспериментальных т-рах ликвидуса, координат ионвариантных равновесий, энталпий смешения жидких сплавов системы Cu—Y и энталпии образования соединения CuY получены выражения для энергии Гиббса расплава и интерметаллических фаз Cu<sub>6</sub>Y, Cu<sub>4</sub>Y, Cu<sub>7</sub>Y<sub>2</sub>, Cu<sub>2</sub>Y и CuY. Из этих данных рассчитана диаграмма фазовых состояний системы Cu—Y, которая наилучшим образом согласуется со всеми имеющимися результатами прямых экспериментальных измерений.

X. 1997, N8

Cu-Y  
(spaf. glicip.)

YCu<sub>x</sub>

1996

Cu<sub>6</sub>Y, Cu<sub>4</sub>Y,  
Cu<sub>7</sub>Y<sub>2</sub>, Cu<sub>2</sub>Y,  
CuY

(Δm<sup>f</sup>)

C.A. 1996, 125, N 22

125: 286082z Gibbs energies of intermetallic phases in the copper-yttrium system. Rudnyi, E. B. (Khimicheskii Fakul'tet, Moskovskii Gosudarstvennyi Universitet, Moscow, Russia). *Zh. Fiz. Khim.* 1996, 70(6), 1007-1011 (Russ). Expressions for the Gibbs energies of melts and the Cu<sub>6</sub>Y, Cu<sub>4</sub>Y, Cu<sub>7</sub>Y<sub>2</sub>, Cu<sub>2</sub>Y, and CuY intermetallic phases were obtained based on exptl. liquidus temp., the coordinates of nonvariant equil., the enthalpies of mixing of liq. alloys in the Cu-Y system, and the enthalpy of formation of CuY. The phase diagram of the Cu-Y system was calcd.

1996

2 Б355. Термодинамическое исследование фазовых соотношений в системе  $Y_2O_3—BaO—CuO_x—CO_2—O_2$ . A thermodynamic study of phase relations in the system  $Y_2O_3—BaO—CuO_x—CO_2—O_2$  / Vigeland Bent Erlend // IUK-thes. / Norg. tekn. h0gsk. — 1996, № 83. — С. 1—178. — Англ.

С помощью методов ТГА и РСТА исследованы фазовые соотношения в системе  $Y_2O_3—BaO—CuO_x—CO_2—O_2$  и равновесия тв. тело — газ и тв. тело — жидкость — газ при т-рах 890—1170 °C для парц. давл.  $CO_2$  в интервале 0,03—0,92 бар и парц. давл. кислорода в интервале 0,01—0,84 бар. Построены фазовые диаграммы исследованной системы при т-рах 950 и 1000 °C для нескольких парц. давл.  $CO_2$ . Кроме того для соед.  $YCuO_2$ ,  $Y_2Cu_2O_5$ ,  $Y_2BaCuO_5$ ,  $YBa_2Cu_3O_{6,3}$ ,  $YBa_2Cu_3O_{6,3}(CO_2)_{0,11}$  и  $YBa_2Cu_3O_{6,3}(CO_2)_{0,19}$  определены энталпии и энтропии образования из бинарных оксидов. Библ. 92.

В. Ф. Байбуз

X. 1997, N 2  $Y_2CuO_5$ ,  $Y_2BaCuO_5$  и др.

Си Yс

1997

22Б351. Структура и термодинамика сплавов Cu—Y. Constitution and thermodynamics of Cu—Y alloys / Abend U., Schaller H.-J. // Ber. Bunsen-Ges. phys. Chem.— 1997.— 101, № 4.— С. 741–748.— Англ.

(ΔH, ΔF)

С помощью измерения э. д. с. гальванич. элемента с использованием монокристаллов CaF<sub>2</sub> как тв. электролитов определены термодинамич. св-ва сплавов Cu—Y при т-рах 973–1073 К. Результаты позволили получить полный набор термодинамич. ф-ций для интерметаллич. фаз Cu<sub>6</sub>Y, Cu<sub>4</sub>Y, Cu<sub>7</sub>Y<sub>2</sub>, Cu<sub>2</sub>Y и CuY, а также информацию о фазовых соотношениях. Система характеризуется умеренными отрицат. отклонениями от идеальности. Сравнение

X. 1997, № 22

с аналогичными системами показывает влияние электронного строения компонентов на термодинамич. ф-ции. Фазовые соотношения для системы были дополнительно исследованы методами ДТА и РСТА. Полученные результаты, а также лит. термодинамич. данные и данные фазовой диаграммы системы Cu—Y использованы в виде основы для термодинамич. оптимизации системы с использованием вычислите. программы на основе МНК. Найдено, что имеется хорошее согласие между оптимизир. и эксперим. данными.

В. Ф. Байбуз

Cu-Y alloys

Y Cu<sub>x</sub>

1997

127: 69350x Constitution and thermodynamics of Cu-Y alloys.  
Abend, U.; Schaller, H. J. (Inst. Physikalische Chemie, Univ. Kiel,  
D.24098 Kiel, Germany). *Ber. Bunsen-Ges.* 1997, 101(4), 741-748 (Eng).  
VCH. The thermodn. properties of Cu-Y alloys are detd. between 973  
and 1073 K by emf. measurements on galvanic cells using CaF<sub>2</sub> single  
crystals as solid electrolytes. Results yield a complete set of thermodn.  
functions for the intermetallic phases (Cu), Cu<sub>6</sub>Y, Cu<sub>4</sub>Y, Cu<sub>7</sub>Y<sub>2</sub>, Cu<sub>2</sub>Y,  
and CuY, as well as information on the phase relations. The system is  
characterized by moderate neg. deviations from ideality. A comparison  
with analogous systems indicates the influence of the electronic structure  
of the components on thermodn. functions. The phase relations of the  
Cu-Y system were addnl. investigated by DTA and X-ray diffraction.  
The present results as well as literature data on the thermodn. and  
phase diagram of the Cu-Y system were used as a basis for a thermodn.  
optimization of the system using a computer program based on the least  
squares method. Optimized and exptl. data turned out to be in good  
agreement.

metallofut  
phys group

C.A. 1997, 127, N5

Lie-Y

1997

Ru dryi EB,

sp. nov. Chemos. Tschell. lab  
descriptions Syst. 1997, 36(2), 213 -  
227.

(coll. Ba-Lie-Y)

F: YC<sub>u</sub>2O<sub>4</sub>

P: I

19Б2261. Кристаллизация LnCu[2]O[4] (Ln=La, Nd, Sm, Eu, Dy, Ho, Y, Er) из расплава гидроксидов: Синтез и структура. Crystallization of LnCu[2]O[4] (Ln=La, Nd, Sm, Eu, Gd, Dy, Ho, Y, Er) from hydroxide melts: synthesis and structure / Luce J. L., Stacy A. M. // Chem. Mater. - 1997. - 9, 7. - C. 1508-1515. - Англ.

Место хранения ГПНТБ России Из расплавов NaOH/КОН при 350-400(°)С синтезированы купраты LnCu[2]O[4] (Ln=La, Nd, Sm, Eu, Gd, Dy, Ho, Y, Er) ( I), определено влияние условий эксперимента (относительные количества NaOH и КОН, количества

1997

реагентов, температура, время введения реагентов) на выход, чистоту и кристалличность I. В целом, образование I благоприятствуют сухой сильно окислительный расплав с большими количествами атома O(1) и 4 атома O(2)). Каждый полиэдр  $\text{LnO}_8$  сочленен ребрами с тремя другими  $\text{LnO}_8$  с образованием трехмерного расположения. Уменьшение длин связей Ln-O в I коррелирует с уменьшением радиуса ионов  $\text{Ln}^{3+}$  и объемов элементарных ячеек. Каждый атом Cu находится в искаженной плоско-квадратной геометрии (2 атома O(1) и 2 атома O(2)). Средние расстояния Cu-O не сильно изменяются с размером ионов  $\text{Ln}^{3+}$ .

Cu-Y (al. catalab)

1997

(Δ<sub>f</sub>H)

128: 51591n Calorimetric study of heats of formation of liquid alloys in the copper-yttrium system. Turchanin, M. A.; Porokhnya, S. V.; Shevchenko, V. Ya. (Kramatorsk. Ind. Inst., Kramatorsk, Ukraine). *Rasplavy* 1997, (3), 10-14 (Russ), Nauka. High-temp. isothermal calorimetry at 1523 and 1873 K was used to study the enthalpy of mixing of Cu and Y. The heats of formation of the liq. alloys were exothermic, and their abs. values decreased with increasing temp. The concn. dependence of the enthalpy of mixing was asym. and reached its min. value at  $x_Y=0.40$ .

C.A. 1998, 128, N5

Vlasykls

1998

Hagmusa, I.H.; et al;

(G)  
J. Appl. Phys. 1998,  
83 (11, Pt. 2), 7136-38

(all-ErCux ● lls; I)

Yue

(OM 39362)

1998

Lindbaum A., Hafner J.,  
et al.,

$(T_{c2}, \Delta H_F)$  J. Phys.: Condens. Mat-  
ter. 1998, 10, 2933-45

1999

F: Cu-Y-O

P: 1 131:277479 Thermodynamic calculation of  
phase equilibria in the Cu-Y-O sy Lysenko, V. A.  
Moscow State University Moscow . 119899,  
Russia Inorg. Mater., 35(9), 912-919 (English) 1999

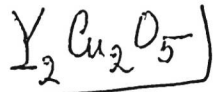
Based on the available exptl. data, thermodyn. evaluation of the Cu-Y-O system was performed. The thermodyn. functions of the phases present in the system were used to locate invariant points, and the projection of the Li surface was calcd. The log p(O<sub>2</sub>) - T diagram of the Cu-Y-O system and the diagram of the CuO-YO<sub>1.5</sub> system at an oxygen pressure of 21 kPa were constructed.

$\gamma\text{CuO}_2$

1999

Vikhreva O., Yankin A., et al,  
Ceram. Int. 1999, 25(2),  
153-155.

(Cu - Ba Cu<sub>2</sub>O<sub>2</sub>; I)



Магнелеки Н.И.

2000

Автореф. докт. дисс., Новосибирск, ИИХ СО

$$C_p(8 - 300 \text{ K})$$

$$C_p(298) = 184,3 \pm 0,3 \text{ Дж} \text{K}^{\frac{-1}{2}} \text{ моль}^{-1}$$

$$\delta(298) = 196,4 \pm 0,7 \text{ -- -- --}$$

$$\Delta H_f = \text{Не приведено!}$$

*YC<sub>213</sub>Al<sub>2</sub>*

*2001*

F: YCu<sub>3</sub>Al<sub>2</sub>

P:  $\bar{I}$

*Структура*

02.15-19Б2.18. YCu[3]Al[2] как пример структурного типа AB[5]. YCu[3]Al[2] example of an AB[5] structure type / Kadir Karim, Sakai Tetsuo, Uehara It Eriksson Lars // Acta crystallogr. C. - 2001. - 57, N 9. - С. 999-1000. Англ.

Серые металлические призмы YCu[3]Al[2] (I) получены из элементов спекание 773 К, отжигом при 1023 К/1 ч. Проведен РСТА и порошковый рентгенографический анализ (293 К, 'лямбда' Mo, 182 2'сигма'-отражений, R 0,021). Параметры гексагональной решетки I: a 5,172, c 4,141 Å, M[r] 332,03, V 95,93 Å<sup>3</sup>, 'ро'(выч.) 5,747, Z 1, ф. гр. P6/mmm. Структура I относится к типу CaCu[5] I, ни YNi[5] не абсорбируют водород. Методом ДТА не выявлено изменения энталпии до 773 К при 3 МПа статического давления H[2]. Также не наблюдается абсорбция-десорбция при 298-673 К и 3,3 МПа давлении H[2].